

Rodríguez-Santamarta M, et al. Modelo experimental de insuficiencia mitral en modelo animal porcino. *REC Interv Cardiol.* 2020. <https://doi.org/10.24875/RECIC.M20000122>

MATERIAL ADICIONAL

Tabla 1 del material adicional. Mediciones realizadas en los niveles establecidos para determinar la extensión del área de infarto en el animal 1

NIVEL	Área infartada (mm ²)	Área no infartada (mm ²)	Área total (mm ²)	Porcentaje infarto	Peso (g)
A	92,573	834,418	926,991	9,986%	10,15
B	128,586	1861,543- 19,792	1970,338	6,526%	22,91
C	135,556	2090,686	2226,242	6,089%	30,52
D	139,665	2880,45	3020,115	4,624%	57,85

Tabla 2 del material adicional. Mediciones realizadas en los niveles establecidos para determinar la extensión del área de infarto en el animal 2

NIVEL	Área infartada (mm²)	Área no infartada (mm²)	Área total (mm²)	Porcentaje infarto	Peso (gr)
B	189,075	1319,182	1508,257	12,536 %	18,61
C	91,392	2082,891	2174,283	4,203 %	27,89
D	138,403	3063,18	3201,583	4,624 %	45,28

Figura 1 del material adicional. Animal 2. **A:** engrosamiento del velo con presencia de hemorragias en la cara atrial. **B:** imagen histológica en la que se aprecia el engrosamiento de la parte media del velo (eVG), como consecuencia del **C:** depósito de mucopolisacáridos (PAS-azul alcian).

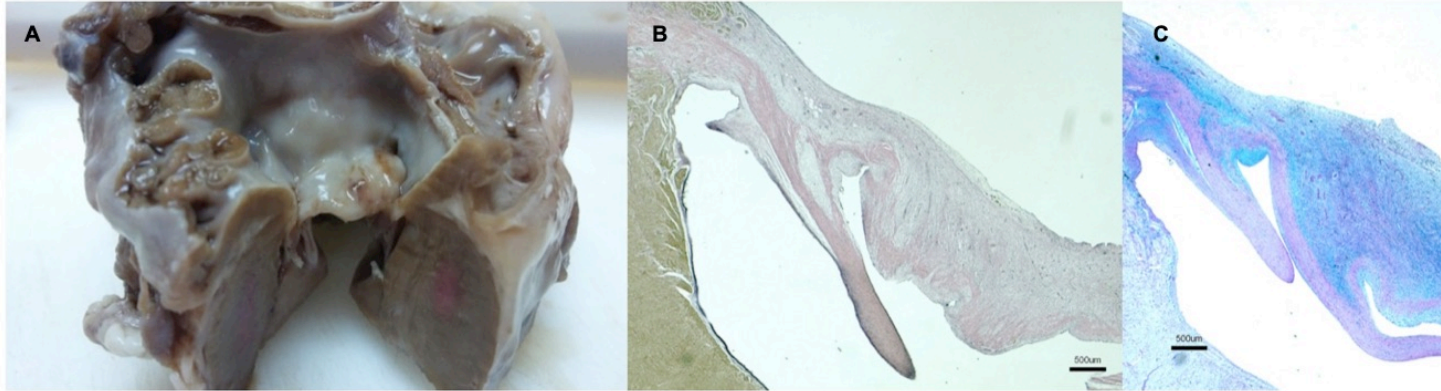


Figura 2 del material adicional. Animal 2. Hemorragias en la cara atrial con presencia de vasos de medio calibre en la parte media. Tricrómico de Masson.

